

# קוונטים 2 – תרגול 11

## פיזורים I: קירוב בורן

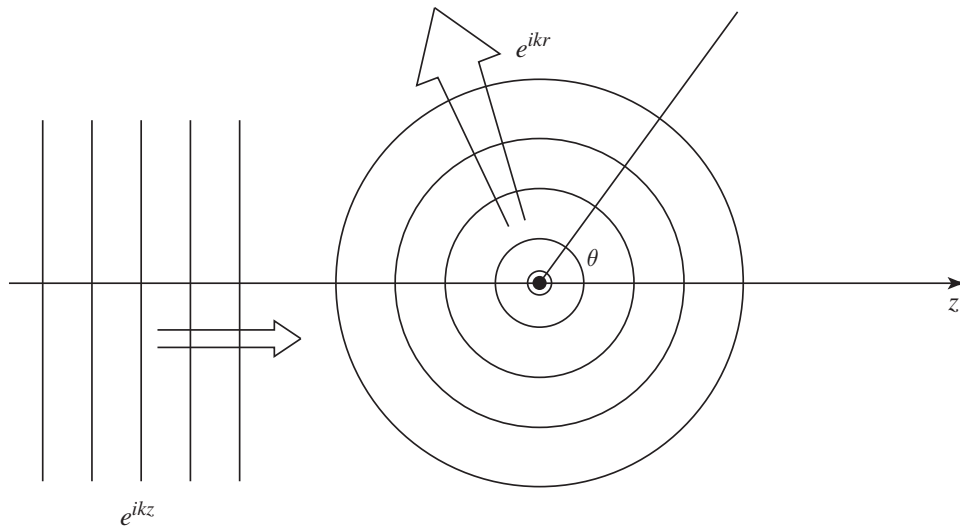
מתרגל: זמיר הלר-אלגזי

### תוכן העניינים

<b>2</b>	<b>1 פיזורים</b>
3	1.1 קירוב בורן
4	1.2 פונקצית גרין
<b>5</b>	<b>2 תרגילים</b>

# 1 פיזורים

בבעיות פיזור גל מישורי (אלומת חלקיקים) בעל תנע מוגדר  $\mathbf{k}_i$  מתפזר על-פני פוטנציאל  $V$  כלשהו בזווית  $\theta$ .



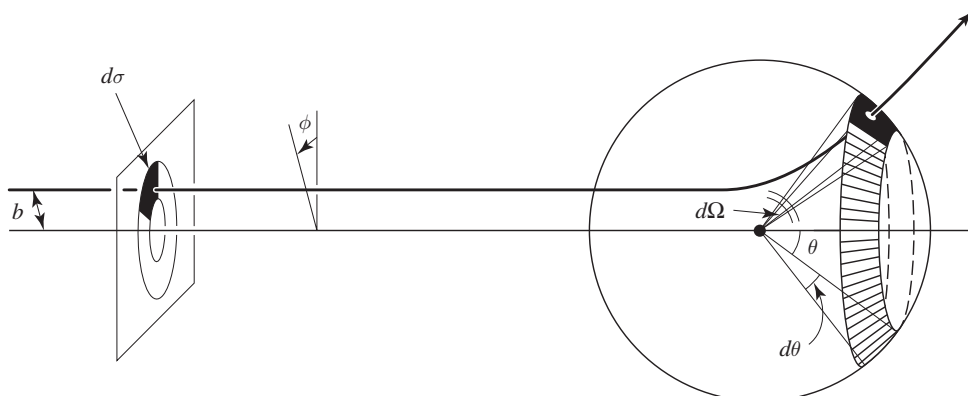
איור 1: פיזור של גל מישורי. לרוב נקבע  $\hat{\mathbf{k}} = \hat{\mathbf{z}}$ .

רחוק מאוד מהמפזר, נכתוב את פונקציית הגל כסופרפוזיציה של גל מישורי נכנס  $\phi_0$  וגל כדורי מתפזר  $\psi_s$ .

$$\begin{aligned} |\psi\rangle &\approx |\phi_0\rangle + |\psi_s\rangle \\ \psi(\mathbf{r}) &\approx \frac{1}{(2\pi)^{3/2}} \left\{ e^{i\mathbf{k}_i \cdot \mathbf{r}} + f(\theta, \phi) \frac{e^{ikr}}{r} \right\} \end{aligned} \quad (1.1)$$

כאשר  $f(\theta, \phi)$  היא **אמפליטודת הפיזור**.  $|\phi_0\rangle$  הוא הפתרון המתאים ל- $H_0$  של חלקיק חופשי. **חתך הפעולה הדיפרנציאלי** (רחוק מהמפזר) הוא ריבוע האמפליטודה,

$$\frac{d\sigma}{d\Omega} = |f(\theta, \phi)|^2 \quad (1.2)$$



איור 2: המחשה של חתך פעולה דיפרנציאלי בפיזור קלאסי.

## 1.1 קירוב בורן

נסתכל על פיזורים אלסטיים (אנרגיה נשמרת) באנרגיות גבוהות. ללא מפזר ( $V = 0$ ) זה רק חלקיק חופשי  $|\phi_0\rangle$  עם תנע  $\mathbf{k}_i$  עם אנרגיה  $E = \hbar^2 k^2 / 2m$ , כלומר

$$H_0 |\phi_0\rangle = E |\phi_0\rangle \implies (E - H_0) |\phi_0\rangle = 0 \quad (1.3)$$

כאשר  $H_0 = p^2 / 2m$ . נוסיף את הפוטנציאל המפזר  $V$  כך ש- $H = H_0 + V$ , ומכיוון שהפיזור אלסטי,

$$(H_0 + V) |\psi\rangle = E |\psi\rangle \implies (E - H_0) |\psi\rangle = V |\psi\rangle \quad (1.4)$$

נחלק את  $|\psi\rangle$  לסכום של חלקיק החופשי  $|\phi_0\rangle$  וחלק מתפזר  $|\psi_s\rangle$ .

$$(E - H_0) (|\phi_0\rangle + |\psi_s\rangle) = (E - H_0) |\psi_s\rangle = V |\psi\rangle \quad (1.5)$$

האופרטור  $(E - H_0)$  סינגולרי, ולכן נוסיף  $+i\epsilon$  במכנה (מרשם  $i\epsilon$  של פיינמן – Feynman's  $i\epsilon$  prescription) ובמצא את  $|\psi_s\rangle$ :

$$|\psi_s\rangle = \frac{1}{E - H_0 + i\epsilon} V |\psi\rangle = \hat{G}_+ V |\psi\rangle \quad (1.6)$$

כאשר סימנו את הפרופגטור  $\hat{G}_\pm \equiv (E - H_0 \pm i\epsilon)^{-1}$ . הצבה חזרה ב- $|\psi\rangle$  מניבה את משוואת ליפמן-שווינגר (Lippmann-Schwinger)

$$|\psi\rangle = |\phi_0\rangle + \hat{G}_+ V |\psi\rangle \quad (1.7)$$

קשה לפתור אותה במדויק, אבל אם נפתחים בסדרים אנחנו רואים ש- $|\psi^{(N+1)}\rangle \sim \hat{G}_+ V |\psi^{(N)}\rangle$ , ולכן אפשר לפתור את המשוואה איטרטיבית בתורת ההפרעות,

$$\begin{aligned} \mathcal{O}(V^0): & \quad |\psi\rangle = |\phi_0\rangle \\ \mathcal{O}(V^1): & \quad |\psi\rangle = |\phi_0\rangle + \hat{G}_+ V |\phi_0\rangle \\ \mathcal{O}(V^2): & \quad |\psi\rangle = |\phi_0\rangle + \hat{G}_+ V |\phi_0\rangle + \hat{G}_+ V \hat{G}_+ V |\phi_0\rangle \\ & \quad \vdots \\ \mathcal{O}(V^N): & \quad |\psi\rangle = \sum_{n=0}^N (\hat{G}_+ V)^n |\phi_0\rangle \end{aligned} \quad (1.8)$$

יש לאיטרטיביות הזו אינטרפרטציה דיאגרמטית יפה שהעניקה השראה לדיאגרמות פיינמן. בקירוב מסדר 0 אין פיזור כלל, ובקירוב בורן מסדר ראשון אנחנו קוטעים את הטור בחזקה הראשונה,

$$|\psi\rangle = |\phi_0\rangle + \hat{G}_+ V |\phi_0\rangle \quad (1.9)$$

כך גם קירוב בורן מסדר  $N$  קוטע את הטור בחזקה ה- $N$ .

## 1.2 פונקצית גרין

נטיל את משוואת ליפמן-שווינגר בבסיס המקום  $\langle \mathbf{r} |$  ונתרכז בפרופגטור השמאלי ביותר,

$$\begin{aligned} \langle \mathbf{r} | \psi \rangle &= \langle \mathbf{r} | \phi_0 \rangle + \langle \mathbf{r} | \hat{G} \left( V + V \hat{G} V + V \hat{G} V \hat{G} V + \dots \right) | \phi_0 \rangle \\ \psi(\mathbf{r}) &= \phi_0(\mathbf{r}) + \int d^3 r' \langle \mathbf{r} | \hat{G} | \mathbf{r}' \rangle \langle \mathbf{r}' | \left( V + V \hat{G} V + V \hat{G} V \hat{G} V + \dots \right) | \phi_0 \rangle \end{aligned} \quad (1.10)$$

הפרופגטור  $\hat{G}_\pm$  הוא למעשה **פונקצית גרין**  $\hat{G}_\pm \equiv \frac{\hbar^2}{2m} \hat{G}_\pm$  של משוואת הלמהולץ, היא התרומה של "מקור" נקודתי (פונקצית דלתא) לפונקצית הגל. ואכן, בחישוב מפורש אנחנו רואים שאלמנטי המטריצה של  $G_\pm$  בבסיס המקום הם גלים כדוריים,

$$G_\pm(\mathbf{r}, \mathbf{r}') = \frac{\hbar^2}{2m} \langle \mathbf{r} | \hat{G}_\pm | \mathbf{r}' \rangle = \frac{\hbar^2}{2m} \left\langle \mathbf{r} \left| \frac{1}{E - H_0 \pm i\epsilon} \right| \mathbf{r}' \right\rangle = -\frac{1}{4\pi} \frac{e^{\pm ik|\mathbf{r}-\mathbf{r}'|}}{|\mathbf{r}-\mathbf{r}'|} \quad (1.11)$$

כאשר  $k_i = k$  התנע ההתחלתי של החלקיק המפוזר.  $G_+$  מתאים לגלים כדוריים יוצאים (נכנסים). נניח בנוסף שהפוטנציאל תחום באזור קטן<sup>1</sup> ולכן  $r \gg r'$ . נקרב  $|\mathbf{r} - \mathbf{r}'| \approx r - \mathbf{r}' \cdot \hat{\mathbf{r}}$  ונקבל כי

$$G_+(\mathbf{r}, \mathbf{r}') \simeq -\frac{1}{4\pi} \frac{e^{ikr}}{r} e^{-ik\hat{\mathbf{r}} \cdot \mathbf{r}'} = -\frac{1}{4\pi} \frac{e^{ikr}}{r} e^{-i\mathbf{k}_f \cdot \mathbf{r}'} \quad (1.12)$$

כאשר זיהינו את וקטור מספר הגל המפוזר  $\mathbf{k}_f = k\hat{\mathbf{r}}$  (הפיזור אלסטי ולכן  $k_f = k_i = k$ ). נקבל שפונקצית הגל היא

$$\begin{aligned} \psi(\mathbf{r}) &= \phi_0(\mathbf{r}) - \frac{2m}{\hbar^2} \cdot \frac{1}{4\pi} \frac{e^{ikr}}{r} \int d^3 r' e^{-i\mathbf{k}_f \cdot \mathbf{r}'} \langle \mathbf{r}' | \left( V + V \hat{G} V + V \hat{G} V \hat{G} V + \dots \right) | \phi_0 \rangle \\ &= \frac{1}{(2\pi)^{3/2}} e^{i\mathbf{k}_i \cdot \mathbf{r}} - \frac{m}{2\pi\hbar^2} \frac{e^{ikr}}{r} \int d^3 r' (2\pi)^{3/2} \langle \mathbf{k}_f | \mathbf{r}' \rangle \langle \mathbf{r}' | \left( V + V \hat{G} V + V \hat{G} V \hat{G} V + \dots \right) | \mathbf{k}_i \rangle \\ &= \frac{1}{(2\pi)^{3/2}} \left\{ e^{i\mathbf{k}_i \cdot \mathbf{r}} - \frac{m}{2\pi\hbar^2} (2\pi)^3 \left\langle \mathbf{k}_f \left| \left( V + V \hat{G} V + V \hat{G} V \hat{G} V + \dots \right) \right| \mathbf{k}_i \right\rangle \frac{e^{ikr}}{r} \right\} \end{aligned} \quad (1.13)$$

אנחנו מזהים את אמפליטודת הפיזור בקירוב בורן מסדר  $n$ :

$$f_{\text{Born}}^{(n)}(\mathbf{k}_f, \mathbf{k}_i) = -\frac{m}{2\pi\hbar^2} (2\pi)^3 \left\langle \mathbf{k}_f \left| V \left( \hat{G}_+ V \right)^{n-1} \right| \mathbf{k}_i \right\rangle \quad (1.14)$$

בקירוב בורן מסדר ראשון אמפליטודת הפיזור היא טרנספורם פורייה של הפוטנציאל (הפוטנציאל לוקאלי).

$$\begin{aligned} (2\pi)^3 \langle \mathbf{k}_f | V | \mathbf{k}_i \rangle &= (2\pi)^3 \int d^3 r' d^3 r'' \langle \mathbf{k}_f | \mathbf{r}' \rangle \underbrace{\langle \mathbf{r}' | V | \mathbf{r}'' \rangle}_{V(\mathbf{r}') \delta(\mathbf{r}' - \mathbf{r}'')} \langle \mathbf{r}'' | \mathbf{k}_i \rangle \\ &= \int d^3 r' V(\mathbf{r}') e^{-i(\mathbf{k}_f - \mathbf{k}_i) \cdot \mathbf{r}'} = \tilde{V}(\mathbf{q}) \end{aligned} \quad (1.15)$$

כאשר סימנו את **התנע המועבר**  $\mathbf{q} \equiv \mathbf{k}_f - \mathbf{k}_i$ . אמפליטודת הפיזור בקירוב בורן הראשון היא

$$f^{(1)}(\theta, \phi) = -\frac{m}{2\pi\hbar^2} \tilde{V}(\mathbf{q}) \quad (1.16)$$

<sup>1</sup>שימו לב שקירוב זה אפשרי רק עבור הפרופגטור האחרון. הפרופגטורים הפנימיים מקשרים בין מיקומים בתוך הפוטנציאל.

## 2 תרגילים

## תרגיל 1

מפזרים חלקיק בעל מסה  $m$  ותנע  $\mathbf{k}$  על פוטנציאל (ספרה "רכה")

$$V(r) = \begin{cases} V_0 & r < r_0 \\ 0 & r > r_0 \end{cases} \quad (2.1)$$

**א.** חשבו את חתך הפעולה הדיפרנציאלי בקירוב בורן הראשון.

**ב.** חשבו את חתך הפעולה הכולל בגבול של אנרגיות נמוכות. בטאו את התשובה במונחי אנרגיית החלקיק הנכנס  $E$ .

**א.** בקירוב בורן הראשון חתך הפעולה הדיפרנציאלי נתון ע"י טרנספורם פורייה של הפוטנציאל,

$$\frac{d\sigma}{d\Omega} = \left(\frac{m}{2\pi\hbar^2}\right)^2 |\tilde{V}(\mathbf{q})|^2 \quad (2.2)$$

נחשב את טרנספורם פורייה של הפוטנציאל (זכרו ש- $\mathbf{r}'$  סוכם על מיקומי ה"מקורות" של  $V$ ).

$$\begin{aligned} \tilde{V}(\mathbf{q}) &= \int V(\mathbf{r}') e^{-i\mathbf{q}\cdot\mathbf{r}'} d^3r' = 2\pi \int_0^{r_0} \int_{-1}^1 V_0 e^{-iqr'x} dx r'^2 dr' \\ &= 2\pi V_0 \int_0^{r_0} \frac{e^{iqr'} - e^{-iqr'}}{iqr} r'^2 dr' = \frac{4\pi V_0}{q} \int_0^{r_0} \sin(qr') r' dr' \\ &= -\frac{4\pi V_0}{q^2} \int_0^{r_0} r' d[\cos(qr')] = -\frac{4\pi V_0}{q^2} \left[ r' \cos(qr') \Big|_0^{r_0} - \int_0^{r_0} \cos(qr') dr' \right] \\ &= -\frac{4\pi V_0}{q^2} \left[ r_0 \cos(qr_0) - \frac{\sin(qr_0)}{q} \right] = \frac{4\pi r_0^3 V_0}{qr_0} \left[ \frac{\sin(qr_0)}{(qr_0)^2} - \frac{\cos(qr_0)}{qr_0} \right] \\ &= 4\pi r_0^3 V_0 \frac{j_1(qr_0)}{qr_0} \end{aligned} \quad (2.3)$$

בשלב האחרון זיהינו את פונקציית בסל הכדורית הראשונה  $j_1(x) = \frac{\sin x}{x^2} - \frac{\cos x}{x}$ . חתך הפעולה הדיפרנציאלי הוא

$$\frac{d\sigma}{d\Omega}(q) = \left(\frac{m}{2\pi\hbar^2}\right)^2 \left| 4\pi r_0^3 V_0 \frac{j_1(qr_0)}{qr_0} \right|^2 = \left(\frac{2mV_0 r_0^3}{\hbar^2}\right)^2 \left[ \frac{j_1(qr_0)}{qr_0} \right]^2 \quad (2.4)$$

הביטוי הזה נתון במונחי התנע המועבר  $q = |\mathbf{k}_f - \mathbf{k}_i|$ , אך בפועל נמדוד בניסוי את זווית הפיזור  $\theta$ , היא הזווית בין  $\mathbf{k}_i$  ל- $\mathbf{k}_f$ . לכן

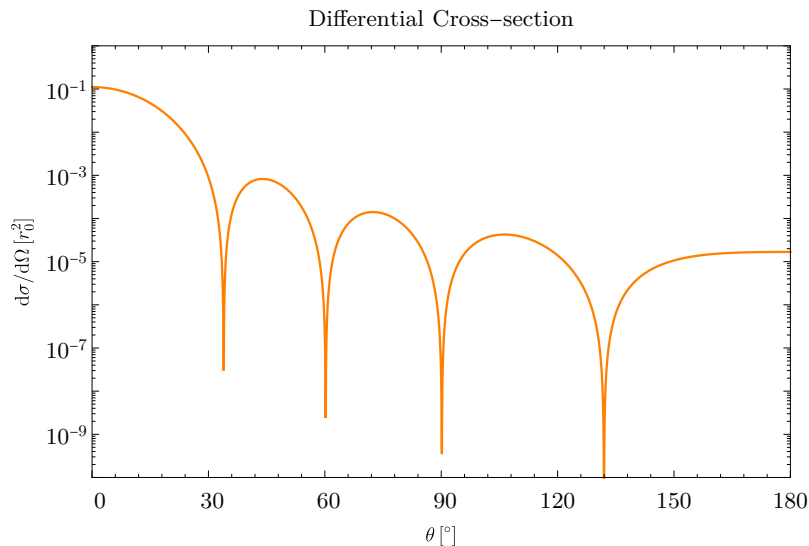
$$q = \sqrt{k_f^2 + k_i^2 - 2k_i k_f \cos \theta} \quad (2.5)$$

ומכיוון שהפיזור אלסטי  $k_i = k_f = k$  ולכן

$$q = k\sqrt{2(1 - \cos \theta)} = 2k \sin \frac{\theta}{2} \quad (2.6)$$

כתלות בזווית הפיזור  $\theta$ , חתך הפעולה הדיפרנציאלי הוא

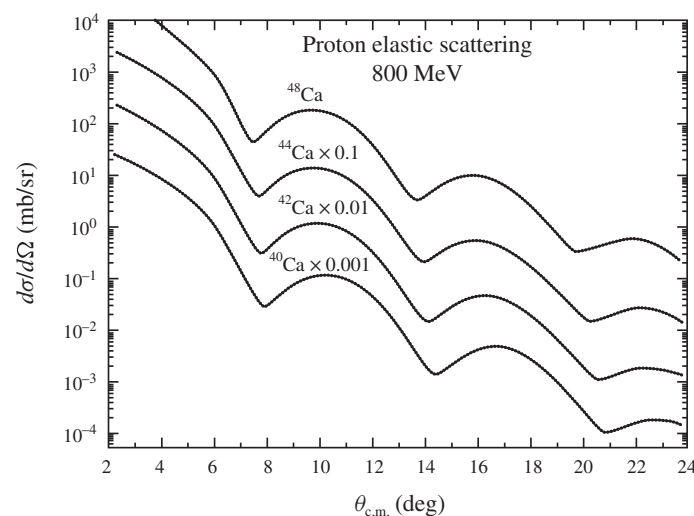
$$\frac{d\sigma}{d\Omega}(\theta) = \left( \frac{2mV_0r_0^3}{\hbar^2} \right)^2 \left[ \frac{j_1\left(2kr_0 \sin \frac{\theta}{2}\right)}{2kr_0 \sin \frac{\theta}{2}} \right]^2 \quad (2.7)$$



איור 3: חתך הפעולה הדיפרנציאלי כתלות ב- $\theta$  ביחידות חסרי-מימדים: האנרגיה נמדדת ביחידות של  $k, \hbar^2/2mr_0^2$  ביחידות של  $1/r_0$  ו- $d\sigma/d\Omega$  ביחידות של  $r_0^2$ . בגרף זה  $k = 7.7/r_0$ .

אם נציב את הגלאי בזוויות מסוימות לא נמדוד חלקיקים בכלל. זאת תוצאה של התאבכות הורסת בין חלקים שונים של הגל המתפזר. זה יקרה בערך כש-

$$2kr_0 \sin \frac{\theta}{2} \approx n\pi, \quad n \in \mathbb{N} \quad (2.8)$$



איור 4: חתך הפעולה הדיפרנציאלי בפיזורי פרוטון על גרעינים של איזוטופים של סידן. מיקומי האפסים משתנים בין האיזוטופים כי רדיוסם  $r_0$  משתנה, וגדל ככל שמספר הניוטונים בגרעין עולה.

**ב.** חתך הפעולה הכולל מתקבל מאינטגרציה של חתך הפעולה הדיפרנציאלי על פני כל זוויות הפיזור,

$$\sigma_{\text{tot}} = \int \frac{d\sigma}{d\Omega} d\Omega = 2\pi \int_{\theta=0}^{\pi} \frac{d\sigma}{d\Omega}(\theta) d(\cos \theta) \quad (2.9)$$

כשהפוטנציאל ספרי-סימטרי, אין תלות ב- $\phi$ . נעבור חזרה מאינטגרציה על  $\theta$  לאינטגרציה על  $q$ , שהיא יותר נוחה,

$$d(\cos \theta) = d \left[ 2 \sin^2 \left( \frac{\theta}{2} \right) - 1 \right] = 2 d \left( \frac{q}{2k} \right)^2 = \frac{d(q^2)}{2k^2} = \frac{q dq}{k^2} \quad (2.10)$$

גבולות האינטגרציה הם  $q_{\min} = 0$  ו- $q_{\max} = 2k$  וקיבלנו

$$\sigma_{\text{tot}} = \frac{2\pi}{k^2} \int_0^{2k} \frac{d\sigma}{d\Omega}(q) q dq \quad (2.11)$$

התוצאה הזו נכונה לכל פיזור אלסטי מפוטנציאל ספרי-סימטרי. נותר רק לחשב את האינטגרל,

$$\sigma_{\text{tot}} = \left( \frac{2mV_0 r_0^3}{\hbar^2} \right)^2 \underbrace{\frac{2\pi}{k^2} \int_0^{2k} \left[ \frac{j_1(qr_0)}{qr_0} \right]^2 q dq}_{I(k)} \equiv \left( \frac{2mV_0 r_0^3}{\hbar^2} \right)^2 I(k) \quad (2.12)$$

נגדיר משתנה חסר-יחידות  $x \equiv qr_0$

$$I(k) = \frac{2\pi}{(kr_0)^2} \int_0^{2kr_0} \left[ \frac{j_1(x)}{x} \right]^2 x dx = \frac{2\pi}{(kr_0)^2} \int_0^{2kr_0} \left[ \frac{\sin x}{x^3} - \frac{\cos x}{x^2} \right]^2 x dx \quad (2.13)$$

בגבול של אנרגיות נמוכות  $kr_0 \ll 1$  (אורכי גל ארוכים) נפתח בטור טיילור את האינטגרנד (לחילופין  $j_l(x) \approx x^l / (2l+1)!!$ )

$$I(k) \approx \frac{2\pi}{(kr_0)^2} \int_0^{2kr_0} \left[ \frac{1}{x^2} - \frac{1}{6} - \left( \frac{1}{x^2} - \frac{1}{2} \right) \right]^2 x dx = \frac{2\pi}{(kr_0)^2} \int_0^{2kr_0} \frac{x}{9} dx = \frac{4\pi}{9} \quad (2.14)$$

קיבלנו שחתך הפעולה הכולל לא תלוי באנרגיה (בגבול של אנרגיות נמוכות).

$$\sigma_{\text{tot}}(kr_0 \ll 1) \approx \left( \frac{2mV_0 r_0^3}{\hbar^2} \right)^2 \frac{4\pi}{9} = 4\pi \left( \frac{2mV_0 r_0^3}{3\hbar^2} \right)^2 \quad (2.15)$$

## תרגיל 2

אורך גל דה-ברוי של ניוטרונים  $\approx$  קרים הוא בין  $10 - 1 \text{ \AA}$ . אחד השימושים בניוטרונים אלו הוא חקירת נזקים בחומר. נתעניין בניוטרונים קרים בעלי אורך גל דה-ברוי  $\lambda = 1.4 \text{ \AA}$ .

**א.** מהי האנרגיה של ניוטרון כזה? מהי האנרגיה של פוטון בעל אותו אורך גל?

מפזרים את קרן הניוטרונים על גביש מחזורי קובי בעל  $N$  אטומים. המיקום של האטום ה- $n$  בשריג נתון ע"י

$$\mathbf{r}_n = n_1 a \hat{\mathbf{x}} + n_2 a \hat{\mathbf{y}} + n_3 a \hat{\mathbf{z}} \quad (2.16)$$

הניחו פיזור אלסטי וכי חתך הפעולה הדיפרנציאלי לפיזור מאטום בודד ידוע  $\left(\frac{d\sigma}{d\Omega}\right)_{\text{at}}(\mathbf{q})$  (כאשר  $\mathbf{q} = \mathbf{k}_f - \mathbf{k}_i$ ).

**ב.** מהו חתך הפעולה הדיפרנציאלי לפיזור מהגביש? השתמשו בקירוב בורן הראשון.

**ג.** הניחו כי החלקיקים פוגעים בגביש עם תנע  $\hbar k$  בזווית  $\theta$  ביחס למישור  $z = 0$ , כך שמישור הפגיעה הוא  $y - z$ . מהם ערכי  $k$  עבורם מתקבל פיזור מקסימלי?

**ד.** בטמפרטורות גבוהות מאוד, כבר לא ניתן להתייחס אל הגביש כסטטי. דרך אחת לקחת בחשבון את התופעה הזו היא להניח שהמיקומים היחסיים של האטומים  $\mathbf{r}_n - \mathbf{r}_m$  מתפלגים בצורה אחידה. תחת הנחה זו, מצאו את חתך הפעולה לפיזור מהגביש.

**א.** האנרגיה של הניוטרון היא

$$E_n(\lambda) = \frac{p^2}{2m_n} = \frac{(h/\lambda)^2}{2m_n} \simeq 42 \text{ meV} \quad (2.17)$$

לעומת זאת, פוטון באותו אורך גל הוא הרבה יותר אנרגטי

$$E_\gamma(\lambda) = cp = \frac{hc}{\lambda} \simeq 8.9 \text{ keV} \quad (2.18)$$

**ב.** נסמן את הפוטנציאל של אטום בודד ב- $V_{\text{at}}(\mathbf{r})$ . הפוטנציאל הכולל הוא

$$V(\mathbf{r}) = \sum_n V_{\text{at}}(\mathbf{r} - \mathbf{r}_n) = V_{\text{at}}(\mathbf{r}) * \left[ \sum_n \delta(\mathbf{r} - \mathbf{r}_n) \right] \quad (2.19)$$

חתך הפעולה בקירוב בורן נתון ע"י טרנספורם פורייה של הפוטנציאל. האמפליטודה היא

$$\begin{aligned} f(\mathbf{q}) &= -\frac{m}{2\pi\hbar^2} \tilde{V}(\mathbf{q}) = -\frac{m}{2\pi\hbar^2} \int \sum_n V_{\text{at}}(\mathbf{r}' - \mathbf{r}_n) e^{-i\mathbf{q}\cdot\mathbf{r}'} d\mathbf{r}' \\ &= -\frac{m}{2\pi\hbar^2} \sum_n e^{-i\mathbf{q}\cdot\mathbf{r}_n} \underbrace{\int V_{\text{at}}(\mathbf{r}' - \mathbf{r}_n) e^{-i\mathbf{q}\cdot(\mathbf{r}' - \mathbf{r}_n)} d\mathbf{r}'}_{\tilde{V}_{\text{at}}(\mathbf{q})} = \underbrace{-\frac{m}{2\pi\hbar^2} \tilde{V}_{\text{at}}(\mathbf{q})}_{f_{\text{at}}(\mathbf{q})} \sum_n e^{-i\mathbf{q}\cdot\mathbf{r}_n} \\ &= f_{\text{at}}(\mathbf{q}) \sum_n e^{-i\mathbf{q}\cdot\mathbf{r}_n} \end{aligned} \quad (2.20)$$



שימו לב שזה פשוט טרנספורם פורייה של קובולוציה. לכן חתך הפעולה מהגביש המלא הוא

$$\left(\frac{d\sigma}{d\Omega}\right)_{\text{crystal}} = |f(\mathbf{q})|^2 = \left(\frac{d\sigma}{d\Omega}\right)_{\text{at}}(\mathbf{q}) \left| \sum_n e^{-i\mathbf{q}\cdot\mathbf{r}_n} \right|^2 \quad (2.21)$$

עבור כל ציר בנפרד האיבר הריבוע הוא טור הנדסי,

$$\sum_{n_i} e^{-in_i a q_i} = \frac{1 - e^{-iq_i a N^{1/3}}}{1 - e^{-iq_i a}} = \frac{e^{-iq_i a N^{1/3}/2} \sin(q_i a N^{1/3}/2)}{e^{-iq_i a/2} \sin(q_i a/2)} \quad (2.22)$$

כאשר  $i = x, y, z$ . בסה"כ קיבלנו

$$\left(\frac{d\sigma}{d\Omega}\right)_{\text{crystal}}(\mathbf{q}) = \left(\frac{d\sigma}{d\Omega}\right)_{\text{at}}(\mathbf{q}) \prod_{i=1}^3 \frac{\sin^2(q_i a N^{1/3}/2)}{\sin^2(q_i a/2)} \quad (2.23)$$

**ג.** וקטור הגל יוצא מוחזר מהמישור  $z = 0$ , ולכן וקטורי הגל הפוגעים והיוצאים הם

$$\mathbf{k}_i = (0, k \cos \theta, -k \sin \theta), \quad \mathbf{k}_f = (0, k \cos \theta, k \sin \theta) \quad (2.24)$$

התנע המועבר הוא

$$\mathbf{q} = \mathbf{k}_f - \mathbf{k}_i = (0, 0, 2k \sin \theta) \quad (2.25)$$

לכן חתך הפעולה הוא

$$\left(\frac{d\sigma}{d\Omega}\right)_{\text{crystal}}(\mathbf{q}) = \left(\frac{d\sigma}{d\Omega}\right)_{\text{at}}(\mathbf{q}) \frac{\sin^2(N^{1/3} k a \sin \theta)}{\sin^2(k a \sin \theta)} \quad (2.26)$$

הפיזור מקסימלי כאשר

$$k a \sin \theta = n\pi \iff 2a \sin \theta = n\lambda \quad (2.27)$$

**זהו תנאי בראג.**

**ד.** כאשר  $\mathbf{r}_n - \mathbf{r}_m$  מתפלג אקראית, האוסצילציות בסכום הבא יתאפסו

$$\left| \sum_n e^{-i\mathbf{q}\cdot\mathbf{r}_n} \right|^2 = \sum_n |e^{-i\mathbf{q}\cdot\mathbf{r}_n}|^2 + \underbrace{\sum_{n \neq m} e^{-i\mathbf{q}\cdot(\mathbf{r}_n - \mathbf{r}_m)}}_{\rightarrow 0} = N \quad (2.28)$$

לכן במקרה הזה חתך הפעולה של הגביש הוא רק סכום ישר,

$$\left(\frac{d\sigma}{d\Omega}\right)_{\text{crystal}}(\mathbf{q}) = N \left(\frac{d\sigma}{d\Omega}\right)_{\text{at}}(\mathbf{q}) \quad (2.29)$$